



LAPLACETRANSFORMEN

Antag $\left\{ \begin{array}{l} x(t < 0) = 0 \\ \int_{-\infty}^{\infty} |x(t)| dt = \infty \Rightarrow \underline{\mathcal{F}\{x(t)\}} \not\exists \end{array} \right. \text{ (enligt grunddef.)}$

Låt $\tilde{x}(t) = x(t)e^{-\sigma t}$, där $\sigma \in \mathbb{R}$, sådan att

$$\int_{-\infty}^{\infty} |\tilde{x}(t)| dt < \infty \quad \forall \quad \sigma > \text{något } \sigma_0 \geq 0$$

Följaktligen existerar $\underline{\mathcal{F}\{\tilde{x}(t)\}}$

Copyright © Lasse Alfredsson, LTH



(Enkelsidig) laplacetransform, forts.

$$\Rightarrow \mathcal{F}\{\tilde{x}(t)\} = \mathcal{F}\{x(t)e^{-\sigma t}\} = \int_{-\infty}^{\infty} x(t)e^{-(\sigma+j\omega)t} dt$$

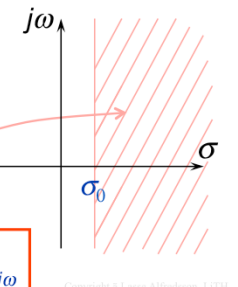
$$= X(\sigma + j\omega) = \boxed{X_I(s) = \mathcal{L}_I\{x(t)\} = \int_0^{\infty} x(t)e^{-st} dt}$$

Låt $s = \sigma + j\omega$

$X(s) = X_I(s)$: Enkelsidig laplacetransform

Konvergensområde: $\sigma = \operatorname{Re}\{s\} > \sigma_0$

OBS! $\begin{cases} \mathcal{F}\{x(t)\} \not\exists \Leftrightarrow \sigma_0 > 0 \\ \mathcal{F}\{x(t)\} \exists \Leftrightarrow \sigma_0 < 0 \end{cases} \Rightarrow \boxed{X(\omega) = X(s)|_{s=j\omega}}$



Copyright © Lasse Alfredsson, LiTH



Dubbelsidig laplacetransform

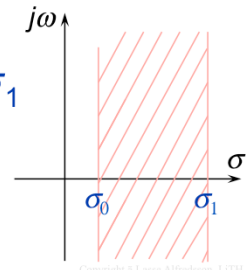
- Låt $x(t) \exists \forall t$ och låt $\mathcal{F}\{x(t)e^{-\sigma t}\} \exists$ för något reellt σ i intervallet $\sigma_0 < \sigma < \sigma_1$:

$$X_{II}(s) = \mathcal{L}_{II}\{x(t)\} = \int_{-\infty}^{\infty} x(t) e^{-st} dt$$

Dubbelsidig
laplacetransform

Konvergensomr. för $X_{II}(s)$: $\sigma_0 < \sigma = \operatorname{Re}\{s\} < \sigma_1$

(OBS! Om $\mathcal{F}\{x(t)\} \exists \Leftrightarrow j\omega$ -axeln ligger i konvergensområdet för $X(s)$!)



Copyright © Lasse Alfredsson, LiTHI



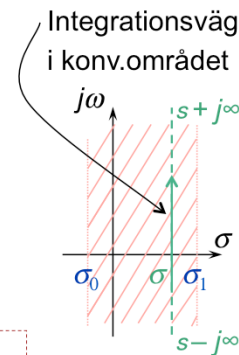
Invers laplacetransform

$$x(t) = \mathcal{L}^{-1}\{X(s)\} = \frac{1}{2\pi j} \int_{\sigma-j\infty}^{\sigma+j\infty} X(s) e^{st} ds$$

I denna kurs erhåller vi ofta (oftast) transformer och deras inverser från någon **laplacetransformtabell!**

Samma inverstransformsamband för den dubbel-sidiga laplacetransformen som för den enkelsidiga!

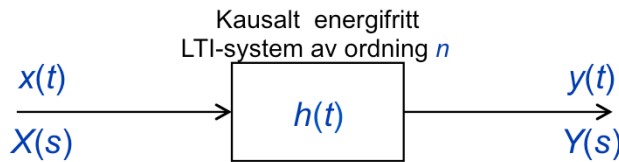
OBS: Laplacetransformanalys finns i **Kap. 6**, men:
Definition av laplacetransform, dess existensvillkor
samt bevis av olika viktiga transformegenskaper
finns i **Appendix D!!**



Copyright © Lasse Alfredsson, LTH



SYSTEMANALYS



Många LTI-system kan beskrivas med en differentialekvation:

$$a_0 y(t) + \sum_{i=1}^n a_i \frac{d^i y(t)}{dt^i} = b_0 x(t) + \sum_{j=1}^m b_j \frac{d^j x(t)}{dt^j}$$

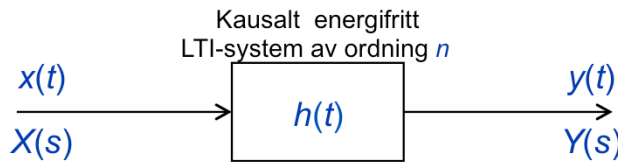
Antag $x(t < 0) = 0$ (Kausalt system ger då $y(t < 0) = 0 \Rightarrow \mathcal{L}_I$ kan användas)

$$\mathcal{L}_I \left\{ \frac{dy(t)}{dt} \right\} = sY(s) - y(0-) \quad \mathcal{L}_I \left\{ \frac{d^i y(t)}{dt^i} \right\} = s^i Y(s) - s^{i-1} y(0-) - s^{i-2} y'(0-) - \dots$$

Copyright © Lasse Alfredsson, LiTH



SYSTEMANALYS



Vi har: $\begin{cases} x(t < 0) = 0 \Rightarrow x(0-) = 0, x'(0-) = 0, \dots \text{ osv.} \\ \text{Energifritt system} \Rightarrow y(0-) = 0, y'(0-) = 0, \dots \text{ osv.} \end{cases}$

$$\Rightarrow Y(s) \cdot \sum_{i=0}^n a_i s^i = X(s) \cdot \sum_{j=0}^m b_j s^j$$

Systemfunktionen:

$$H(s) = \frac{Y(s)}{X(s)} \Big|_{\substack{\text{alla initial-} \\ \text{tillstånd = 0}}} = \sum_{j=0}^m b_j s^j \Bigg/ \sum_{i=0}^n a_i s^i$$

Alt. "Överföringsfunktionen"

Copyright © Lars Arvidsson, LiTH

Systemfunktion, forts

Dvs. för energifria **LTI-system** gäller:

$$Y(s) = X(s)H(s)$$

Om stabilt system



$$H(s) = \mathcal{L}\{h(t)\}$$

$$Y(\omega) = X(\omega)H(\omega)$$



$$y(t) = (x * h)(t)$$

Systemegenskap | \mathcal{L} -transformtyp

Kausalt	Enkelsidig, \mathcal{L}_I
Icke-kausalt	Dubbelsidig, \mathcal{L}_{II}

- Om systemet **ej** är energifritt:

$$y(t) = (x * h)(t) + y_{zi}(t)$$

- OBS: $y_{zi}(t)$ kan bara erhållas från diff.ekv. m.h.a. \mathcal{L}_I , inte \mathcal{L}_{II}

Copyright © Lasse Alfredsson, LTH



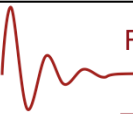
Pol-Nollställediagram

$$H(s) = \frac{\sum_{j=0}^m b_j s^j}{\sum_{i=0}^n a_i s^i} = K \cdot \frac{\prod_{j=1}^m (s - n_j)}{\prod_{i=1}^n (s - p_i)}$$

$K = \frac{b_m}{a_n}$: **Nivåkonstanten**

n_j : **Nollställen** till $H(s)$ \equiv täljarpolynomets nollställen

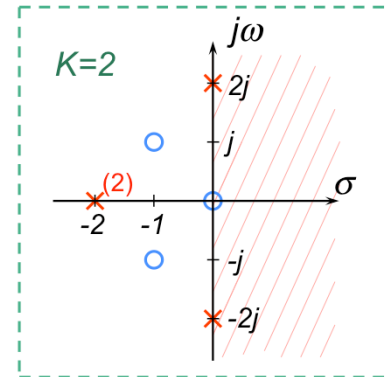
p_i : **Poler** till $H(s)$ \equiv nämnarpolynomets nollställen



Pol-Nollställediagramm, forts

Exempel:

$$H(s) = \frac{2s^3 + 4s^2 + 4s}{s^4 + 4s^3 + 8s^2 + 16s + 16} = 2 \cdot \frac{s(s+1+j)(s+1-j)}{(s+2)^2(s+2j)(s-2j)}$$



Nollställen:

$$n_0 = 0 \quad n_1 = -1 - j \quad n_2 = -1 + j$$

Poler:

$$p_1 = p_2 = -2 \quad p_3 = -2j \quad p_4 = 2j$$

Konvergensområde för $H(s)$
om kausalt system: $\operatorname{Re}\{s\} > 0$

Copyright © Lasse Alfredsson, LTH



KAUSALITET & konvergensområde för $H(s)$

De tre typerna av sammanhangande konvergensområde motsvarar för systemfunktionen $H(s)$ olika kausalitetsfall:

Antikausalt system

$$h(t \geq 0) = 0$$

$$\text{Re}\{s\} < -2$$

Allmänt icke-kausalt system

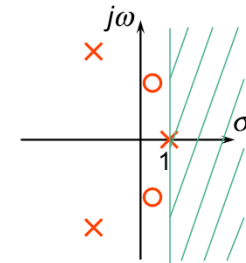
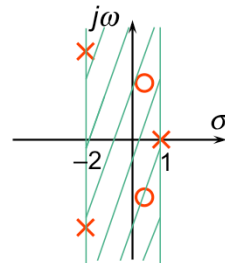
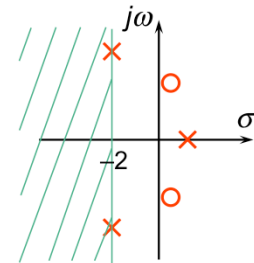
$$h(t < 0, t \geq 0) \neq 0$$

$$-2 < \text{Re}\{s\} < 1$$

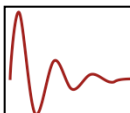
Kausalt system

$$h(t < 0) = 0$$

$$\text{Re}\{s\} > 1$$



Copyright © Lasse Alfredsson, LiTHI



Poler, nollställen och tidssignal

- Laplacetransformens poler anger, tillsammans med deras respektive positioner, vilka typer av termer (dvs. signaltermer eller impulssvarstermer) som ingår i motsvarande tidsuttryck.

Enkelpol (reell):
($s = -\alpha$, $\operatorname{Re}\{s\} > -\alpha$)

$$\mathcal{L}^{-1} \left\{ \frac{1}{s + \alpha} \right\} = e^{-\alpha t} \cdot u(t)$$

Enkla komplexkonj. polpar:
($s = -\alpha \pm j\omega_0$, $\operatorname{Re}\{s\} > -\alpha$)

$$\mathcal{L}^{-1} \left\{ \frac{\omega_0}{(s + \alpha)^2 + \omega_0^2} \right\} = e^{-\alpha t} \cdot \sin(\omega_0 t) \cdot u(t)$$

- Laplacetransformens nollställen inverkar främst på den relativa styrkan av de olika termerna.

Copyright © Lasse Alfredsson, LTH

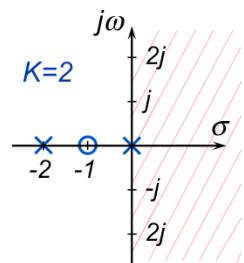


Överlagrade pol-nollställediagram

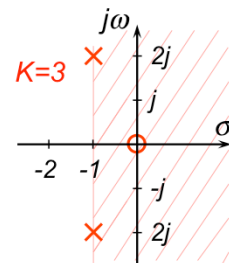
Exempel: $x(t) = (1 + e^{-2t})u(t)$ Kausalt LTI-system

$$X_1(s) = \frac{1}{s} + \frac{1}{s+2}$$

$$= \frac{2(s+1)}{s(s+2)}$$

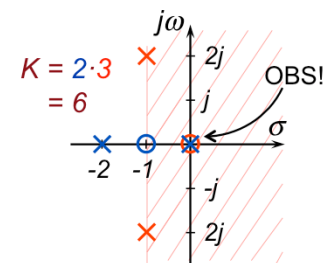


$$H_1(s) = \frac{3s}{(s+1)^2 + 2^2}$$



$$Y_1(s) = X_1(s) \cdot H_1(s)$$

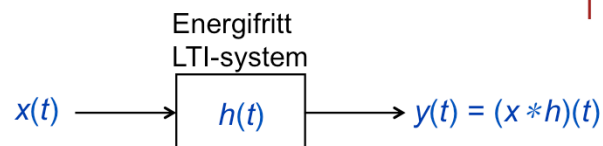
$$= \frac{2(s+1)}{s(s+2)} \cdot \frac{3s}{(s+1)^2 + 2^2}$$



Copyright © Lasse Alfredsson, LiTHI



STABILITET



Vi vet:

Systemet är stabilt omm $|x(t)| \leq M < \infty \rightarrow |y(t)| \leq N < \infty \quad \forall t$

$$\Leftrightarrow \int_{-\infty}^{\infty} |h(t)| dt < \infty \quad \Rightarrow \quad \mathcal{F}\{h(t)\} = H(\omega) \quad \exists$$

Dvs. $j\omega$ -axeln ligger i konvergensområdet för $H(s)$

Dvs. för ett **stabilt LTI-system** gäller

$$H(\omega) = H(s) \Big|_{s=j\omega}$$

Marginellt stabilt LTI-system $\Leftrightarrow j\omega$ -axeln utgör en *rand* till konvergensområdet för $H(s)$ och alla dess poler på $j\omega$ -axeln är *enkla*.

OBS: För systemfunktionen till både stabila och marginellt stabila LTI-system gäller att antal poler \geq antal nollställen

Copyright © Lasse Alfredsson, LiTHI

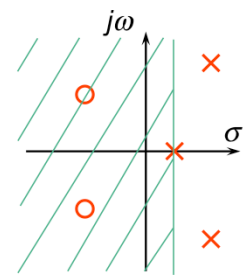


Stabilitet & Kausalitet (sammanfattning)

Polplaceringar hos $H(s)$ för **stabila LTI-system**, beroende på kausalitetsegenskap:

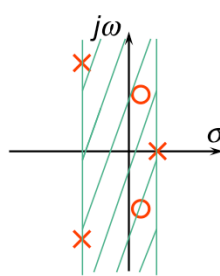
1) Stabilt & Antikausalt system

⇒ Alla poler i HHP



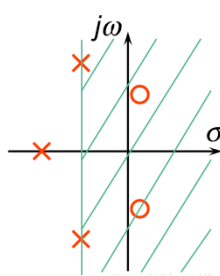
2) Stabilt & Allmänt icke-kausalt system

⇒ Poler i VHP & HHP



3) Stabilt & Kausalt system

⇒ Alla poler i VHP



Copyright © Lasse Alfredsson, LiTH

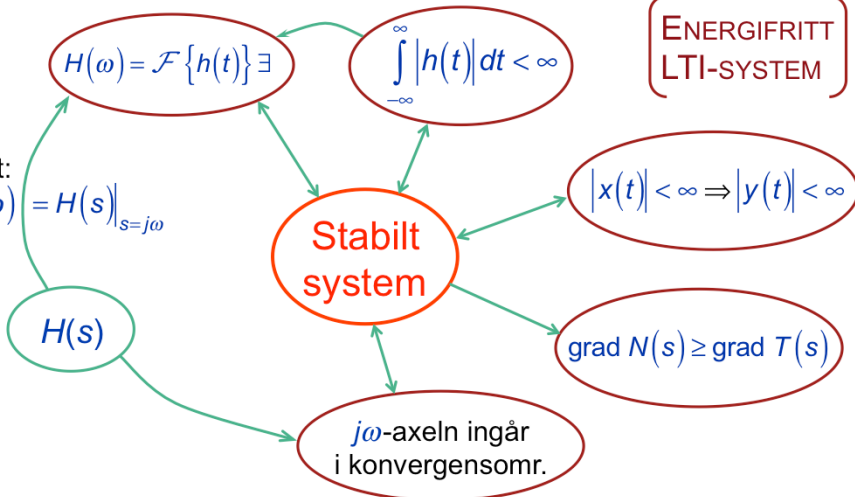
Stabilitetsrelationer,

$$H(s) = \frac{T(s)}{N(s)} \quad \exists$$

ENERGIFRITT
LTI-SYSTEM

Om
stabilt:

$$H(\omega) = H(s)|_{s=j\omega}$$



Copyright © Lasse Alfredsson, LTH



$|H(\omega)|$ & $\arg H(\omega)$ från pol-nollställevektorer

Stabilt LTI-system
 \Downarrow

$$H(\omega) = H(s) \Big|_{s=j\omega} = \begin{cases} K \cdot \frac{(j\omega - n_1)(j\omega - n_2) \cdots (j\omega - n_M)}{(j\omega - p_1)(j\omega - p_2) \cdots (j\omega - p_N)} = K \cdot \frac{r_1 e^{j\phi_1} \cdot r_2 e^{j\phi_2} \cdots r_M e^{j\phi_M}}{d_1 e^{j\theta_1} \cdot d_2 e^{j\theta_2} \cdots d_N e^{j\theta_N}} \\ |H(\omega)| e^{j\arg H(\omega)} \end{cases}$$

Amplitudkarakteristiken:

$$|H(\omega)| = |K| \cdot \frac{r_1 \cdot r_2 \cdots r_M}{d_1 \cdot d_2 \cdots d_N}$$

Faskarakteristiken:

$$\arg H(\omega) = \arg K + (\phi_1 + \phi_2 + \cdots + \phi_M) - (\theta_1 + \theta_2 + \cdots + \theta_N)$$

Exempel:

 Låt $\omega: 0 \rightarrow \infty$

Copyright © Lasse Alfredsson, LiTH



Kretsberäkningar, linjära **RLMC**-nät (passiva kretselement, laplacetransformerbara källor)

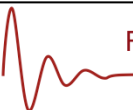
METODIK, beräkna godtycklig nätspänning / -ström:



Om nätförändringar sker vid $t = t_0$ (här antas $t_0 = 0$) \Rightarrow Betrakta alla källor som inkopplade vid $t = t_0 \Rightarrow \mathcal{L}\{x(t-t_0)u(t-t_0)\} = X(s)e^{-st_0}$

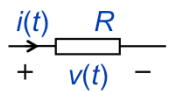


Copyright © Lasse Alfredsson, LiTH

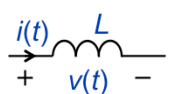
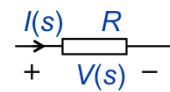


Kretsberäkningar, metodik (forts)

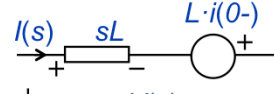
- 3) Ersätt passiva nätelement med **operatorscheman**:



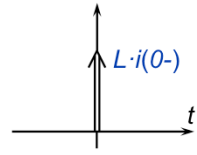
$$v(t) = R \cdot i(t) \quad \Leftrightarrow \quad V(s) = R \cdot I(s)$$



$$v(t) = L \frac{di(t)}{dt} \quad \Leftrightarrow \quad V(s) = sL \cdot I(s) - L \cdot i(0^-)$$



$L \cdot i(0^-)$ motsvarar en impulsformad spänning
med styrkan $L \cdot i(0^-)$ i tidsplanet ($\mathcal{L}^{-1}\{K\} = K \cdot \delta(t)$):

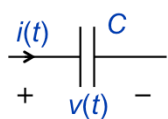


Copyright & Lasse Alfredsson, LiTH

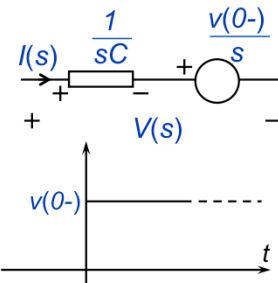


Kretsberäkningar, metodik (forts)

3) forts.



$$i(t) = C \frac{dv(t)}{dt}$$
$$\Leftrightarrow V(s) = \frac{1}{sC} \cdot I(s) + \frac{v(0-)}{s}$$



$v(0-)/s$ motsvarar en stegformad spänning med höjden $v(0-)$ i tidsplanet ($\mathcal{L}^{-1}\left\{\frac{K}{s}\right\} = K \cdot u(t)$):

4) Likströmsteori

Sökt storhets laplacetransform ($Y(s)$)

5) Inverstransformera

Sökt storhets tidsuttryck ($y(t) = \mathcal{L}^{-1}\{Y(s)\}$)

Copyright & Lasse Alfredsson, LiTH